

Fig. 1a

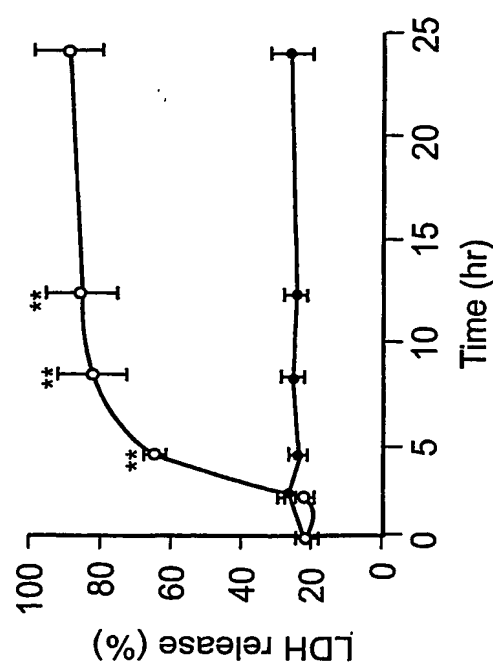


Fig. 1b

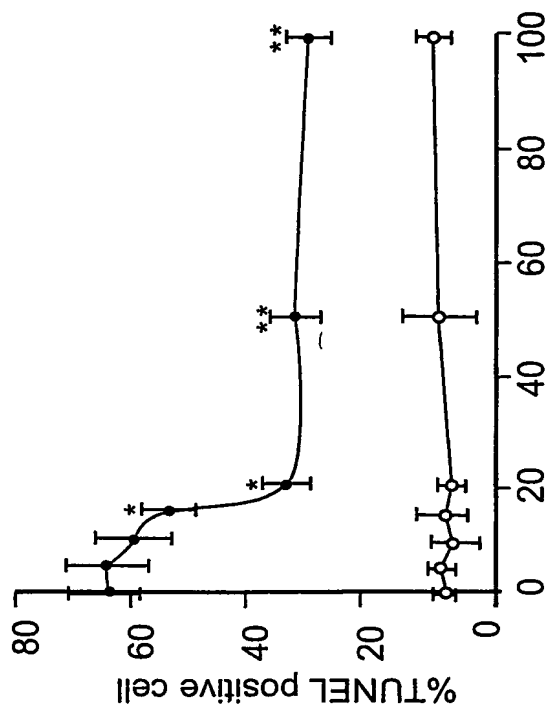


Fig. 1d

2/14

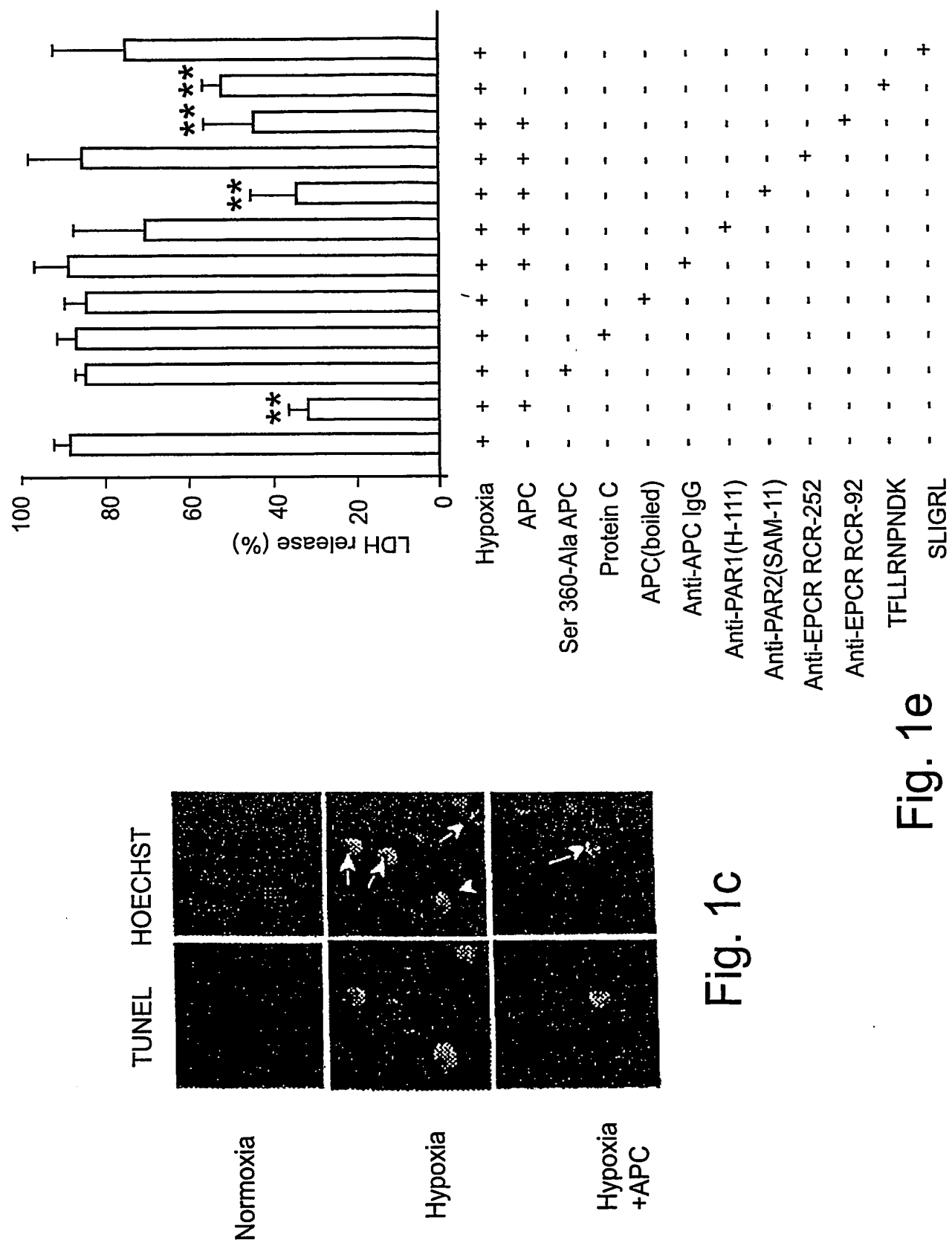


Fig. 1c

Fig. 1e

3/14

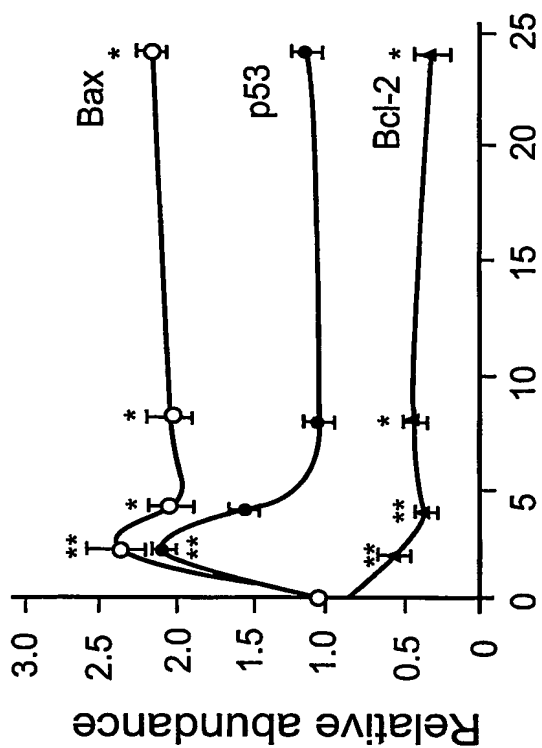


Fig. 2a

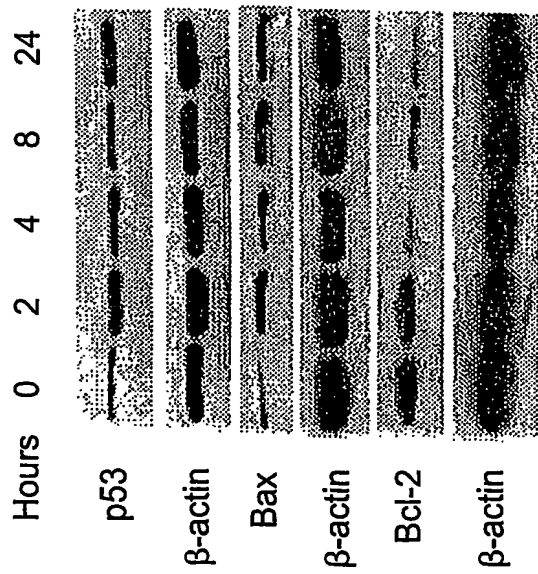


Fig. 2b

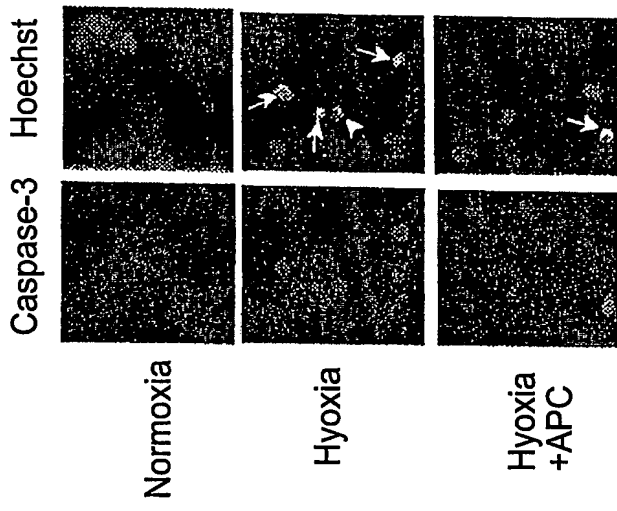


Fig. 2c

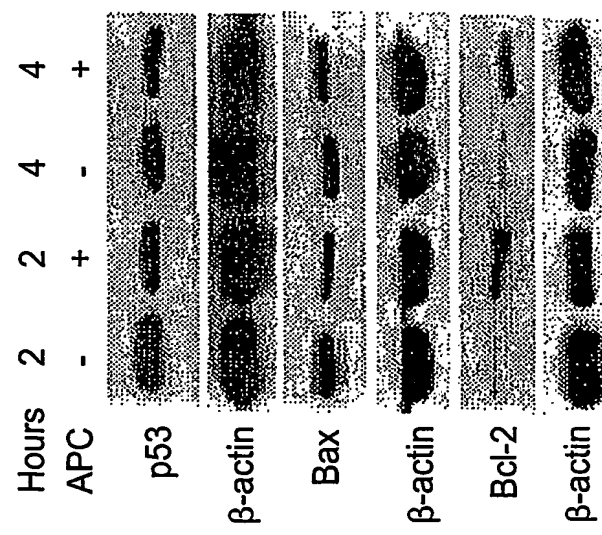


Fig. 2d

4/14

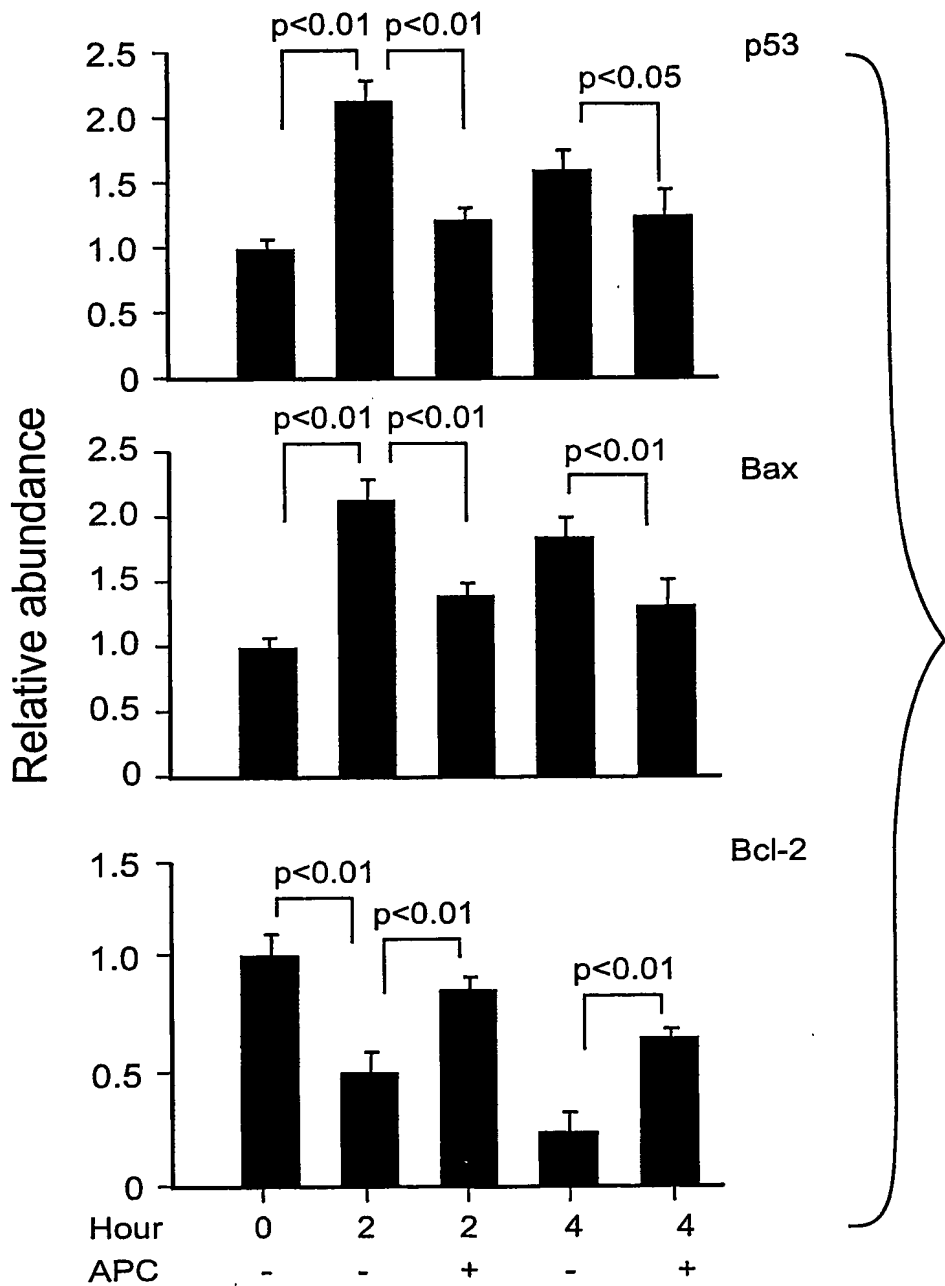


Fig. 2d

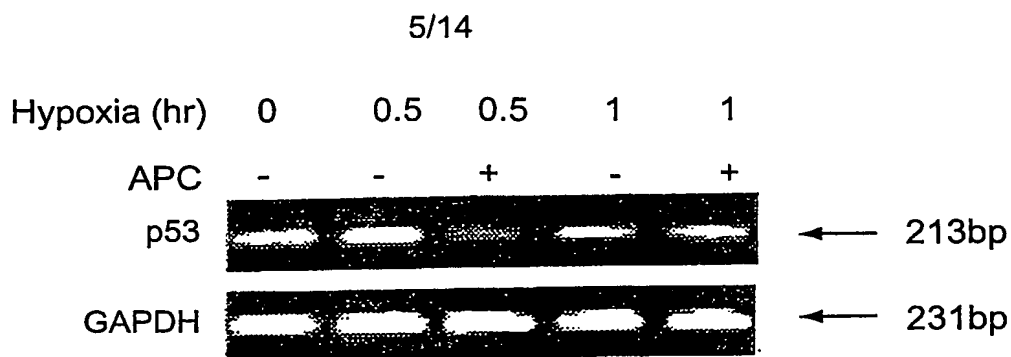


Fig. 3a

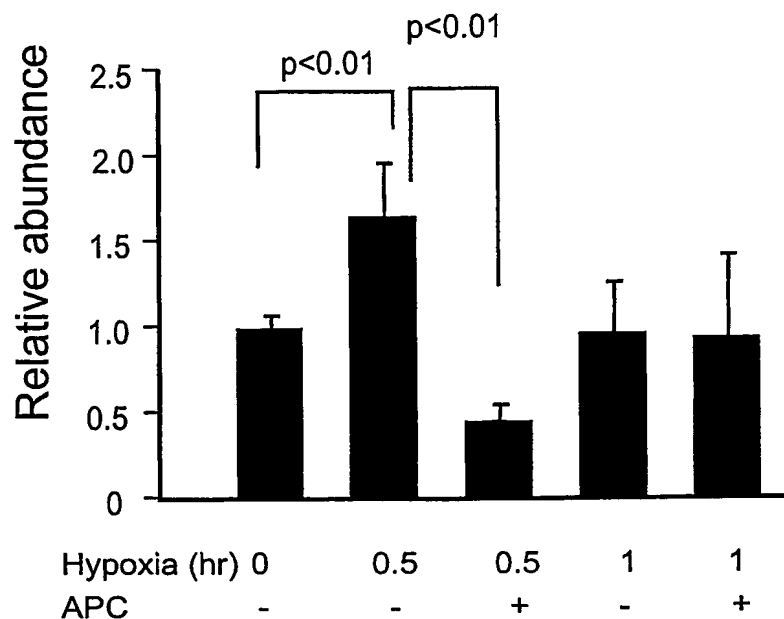


Fig. 3b

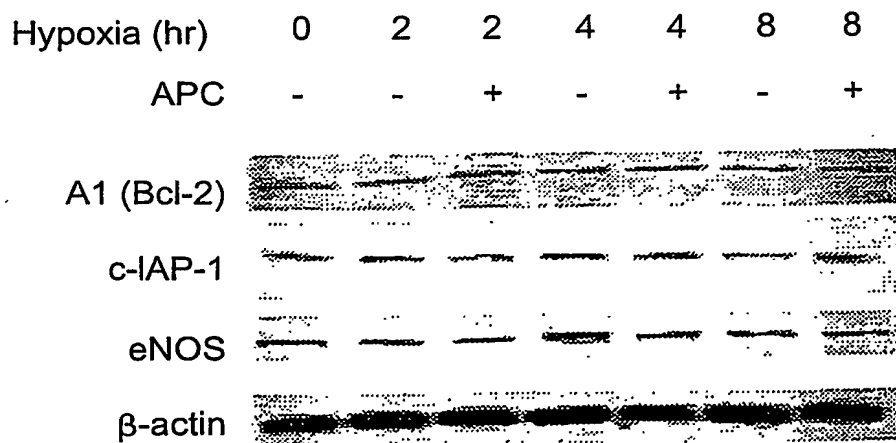


Fig. 3c

Fig. 4a Infarction Fig. 4b Edema

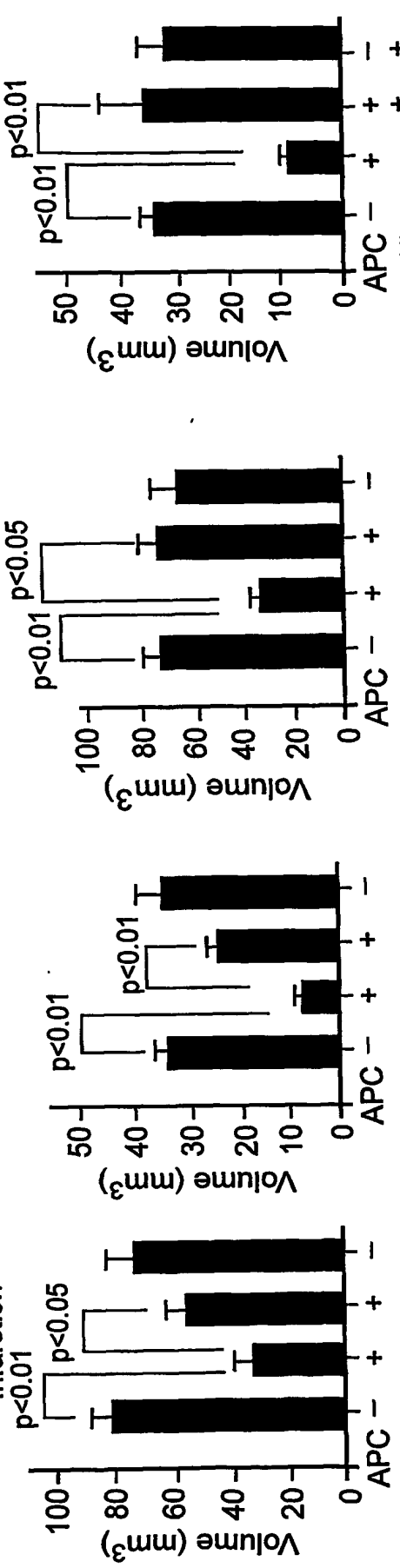


Fig. 4b Edema

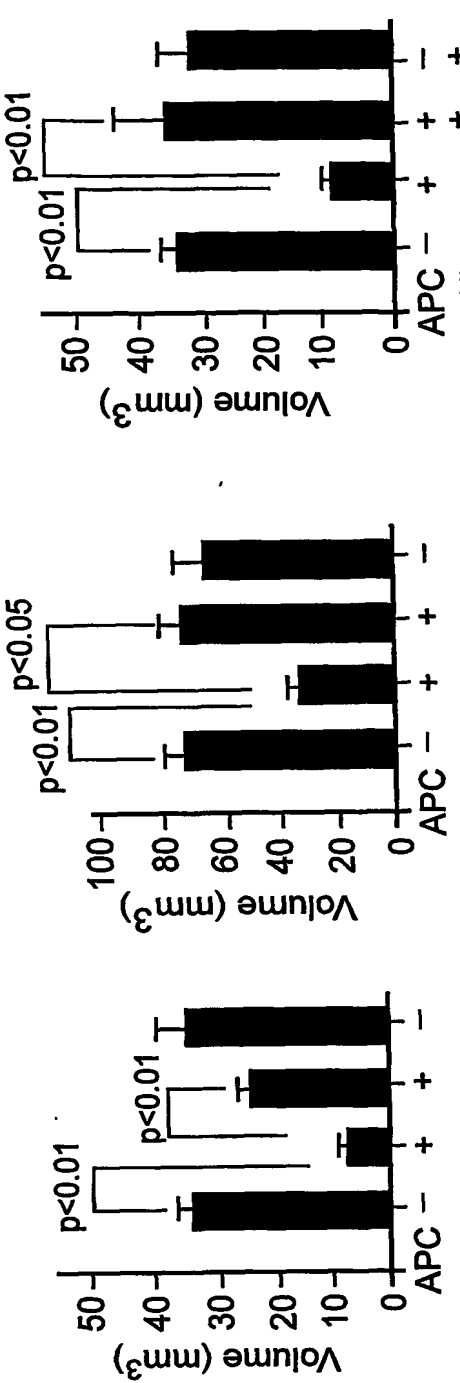


Fig. 4C Infarction

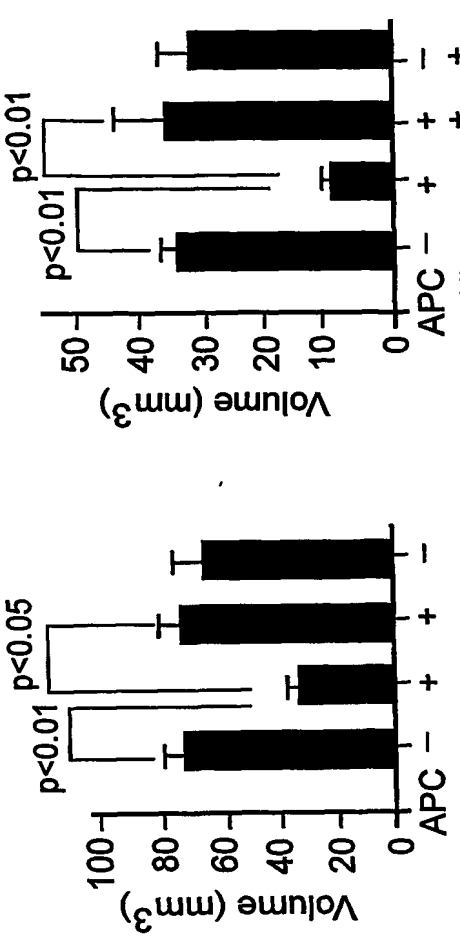
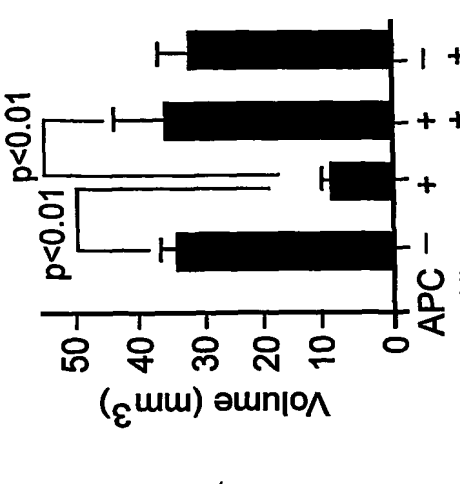


Fig. 4d Edema



Mouse APC improves Motor Neurological Score

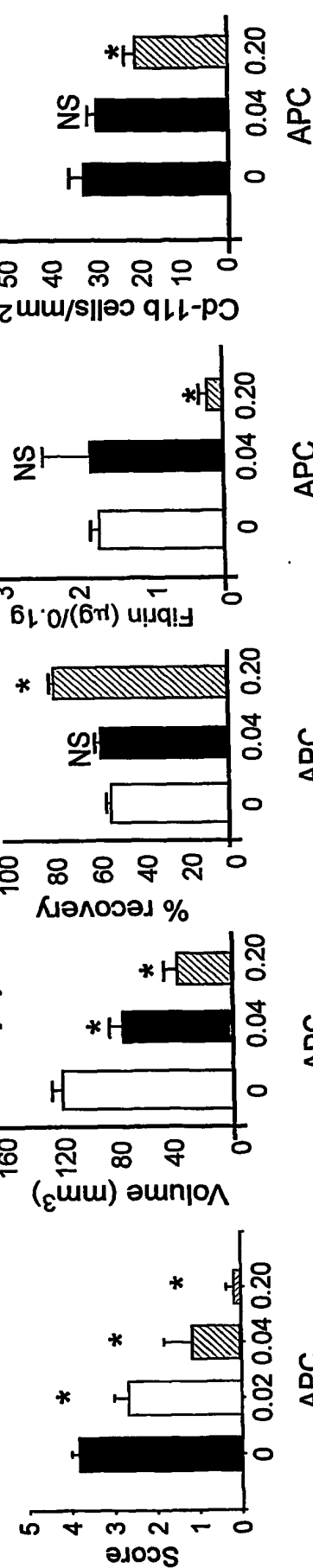


Fig. 4e

Fig. 4f Fig. 4g

Fig. 4h

Fig. 4*i*

Fig. 5a

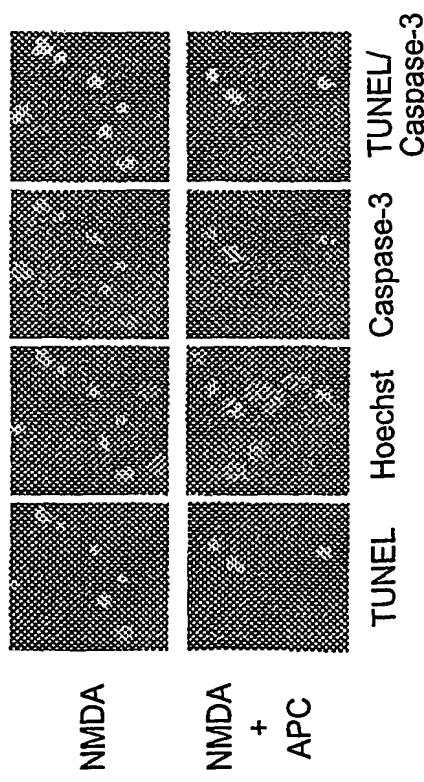


Fig. 5b

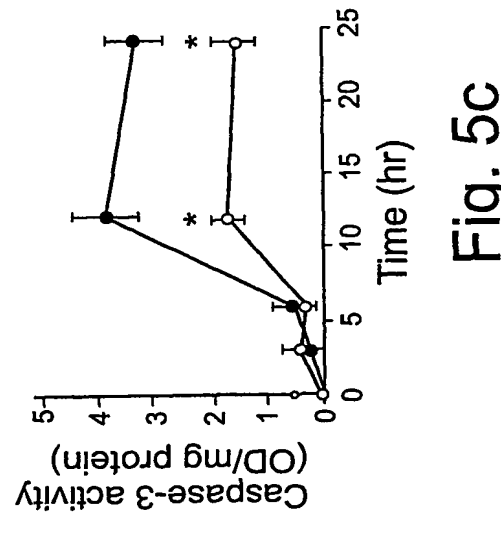
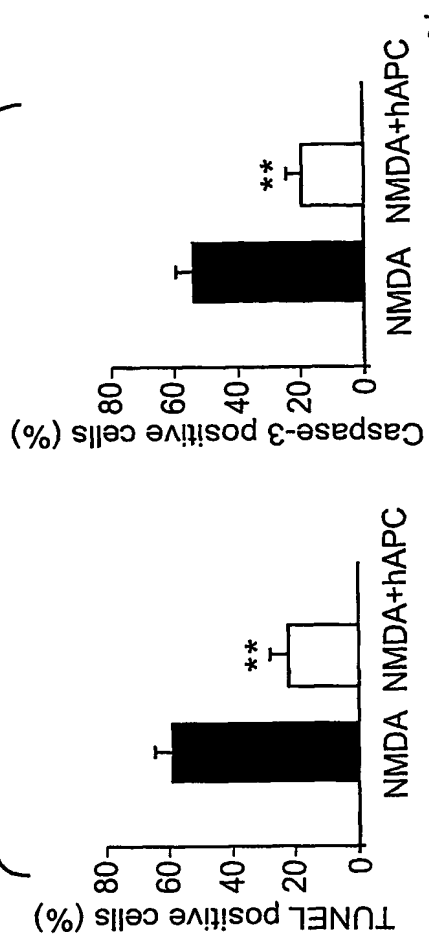


Fig. 5c

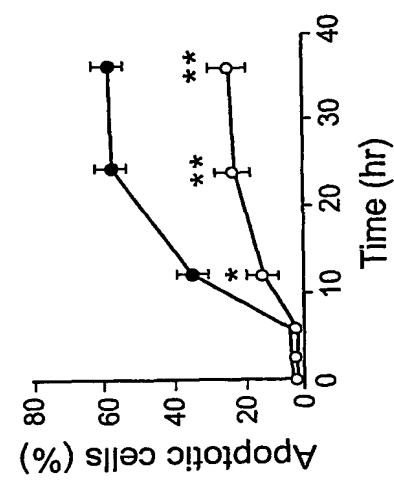


Fig. 5d

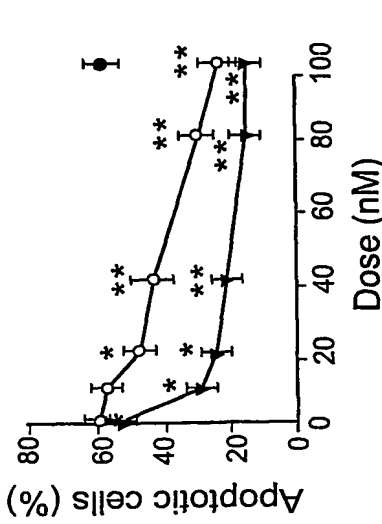
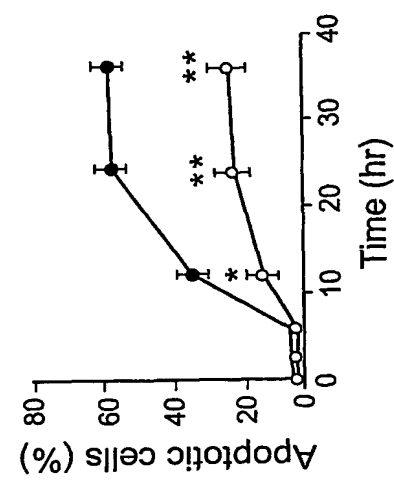


Fig. 5e

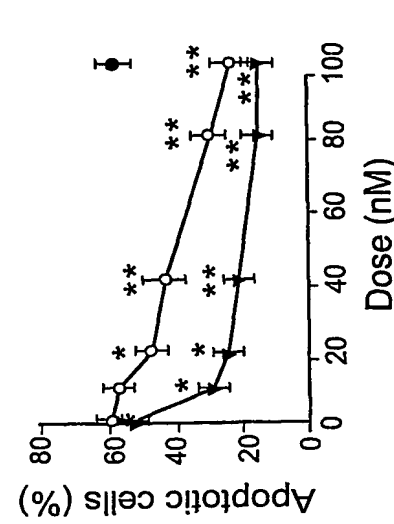


Fig. 6a

8/14

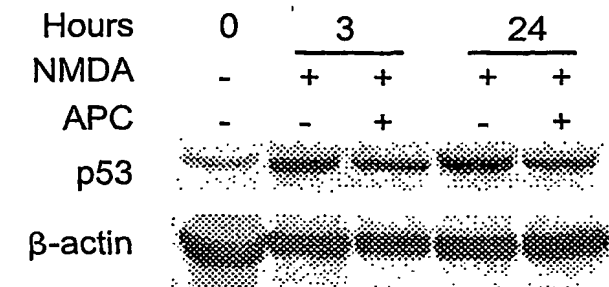


Fig. 6b

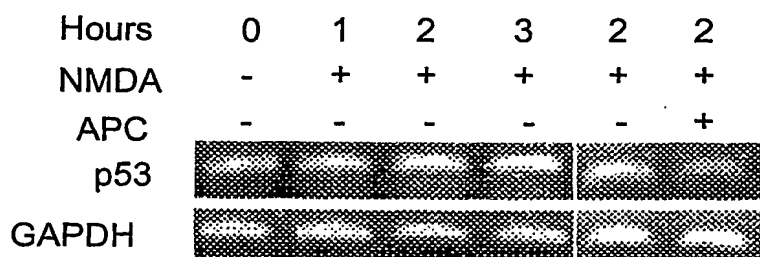


Fig. 6c

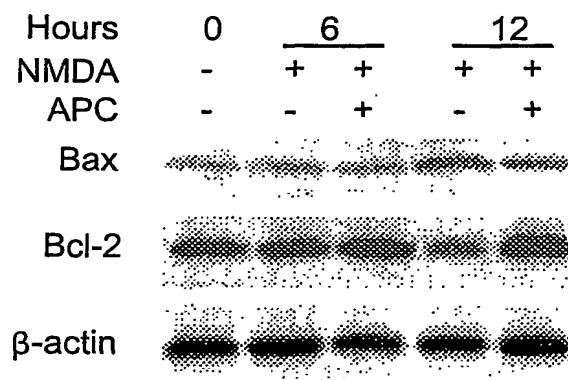


Fig. 6e

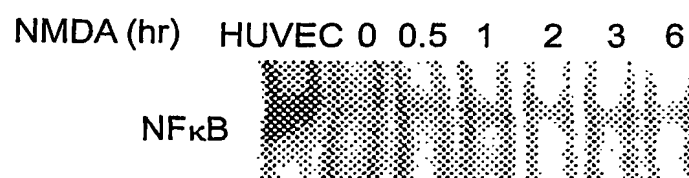
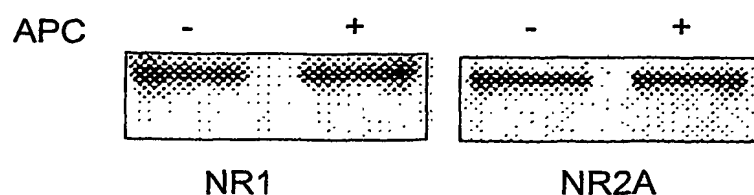
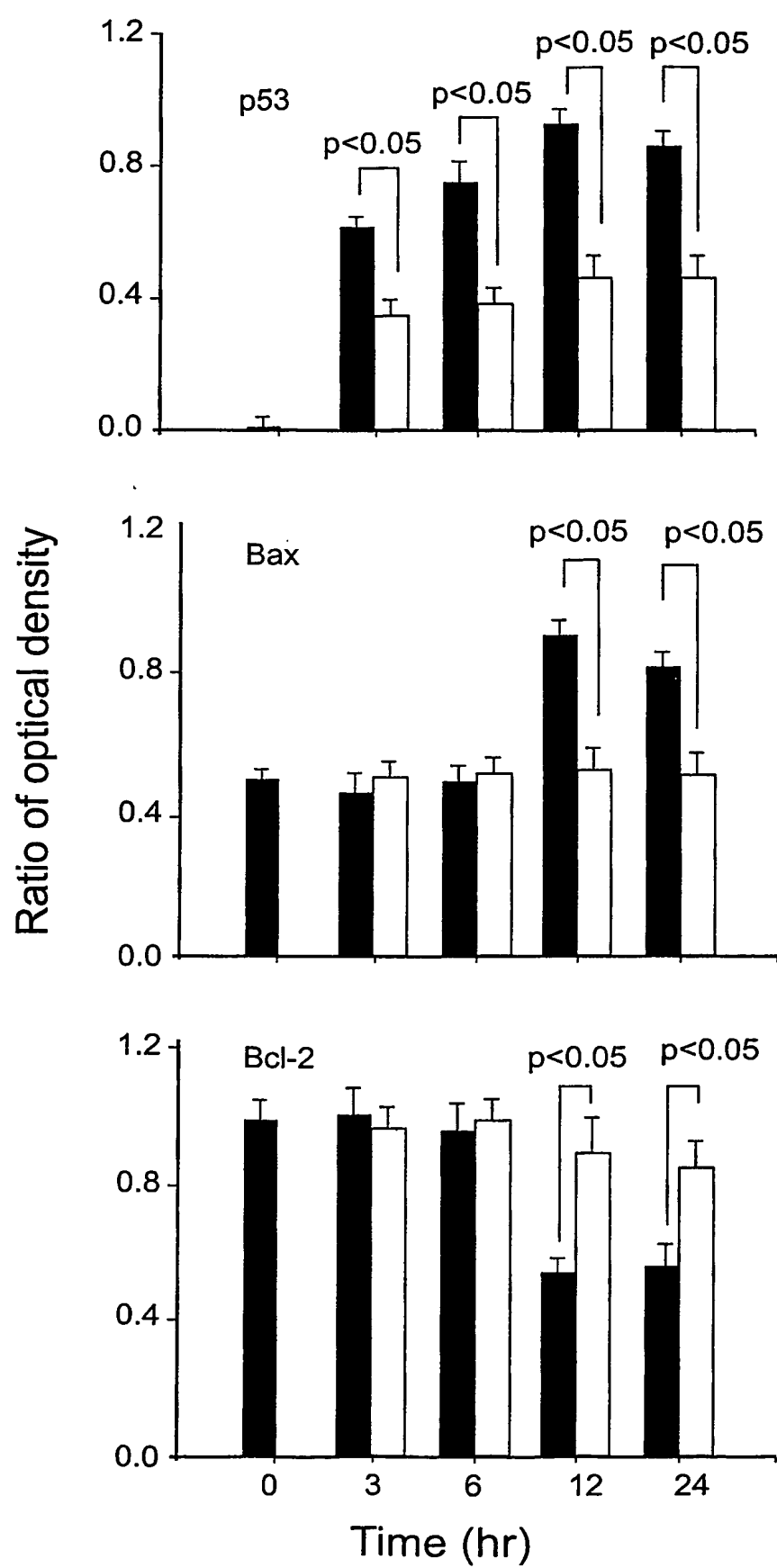


Fig. 6f



9/14

Fig. 6d



10/14

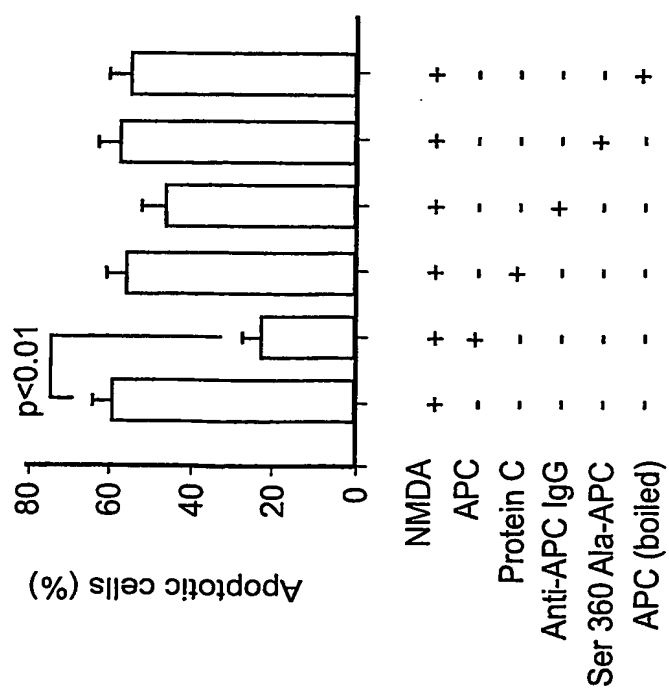
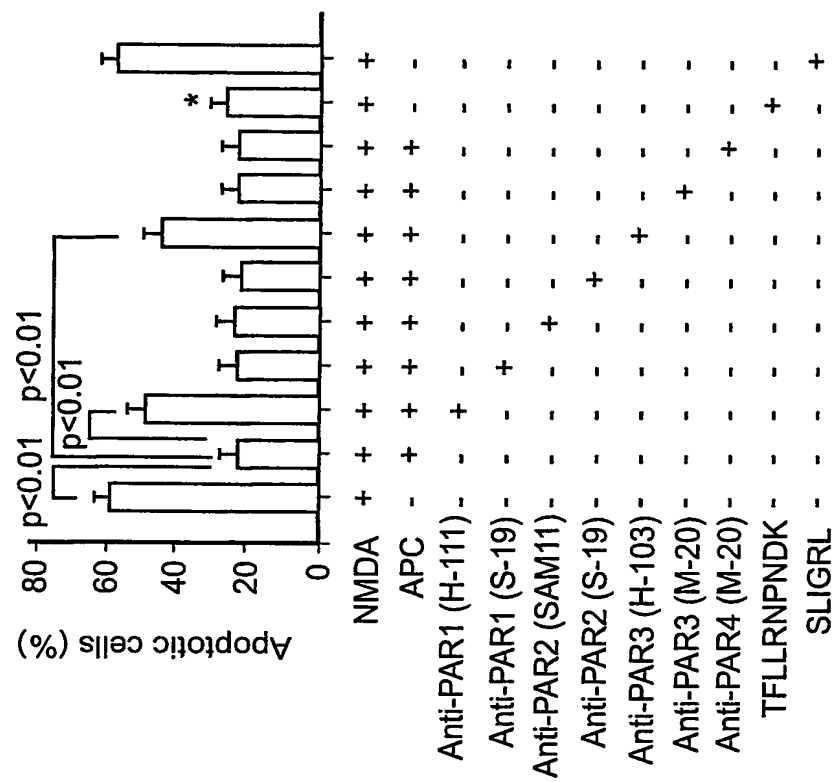


Fig. 7a

Fig. 7b

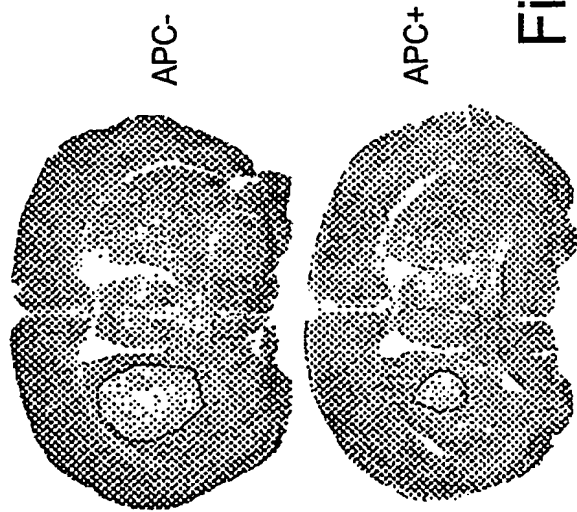


Fig. 7C

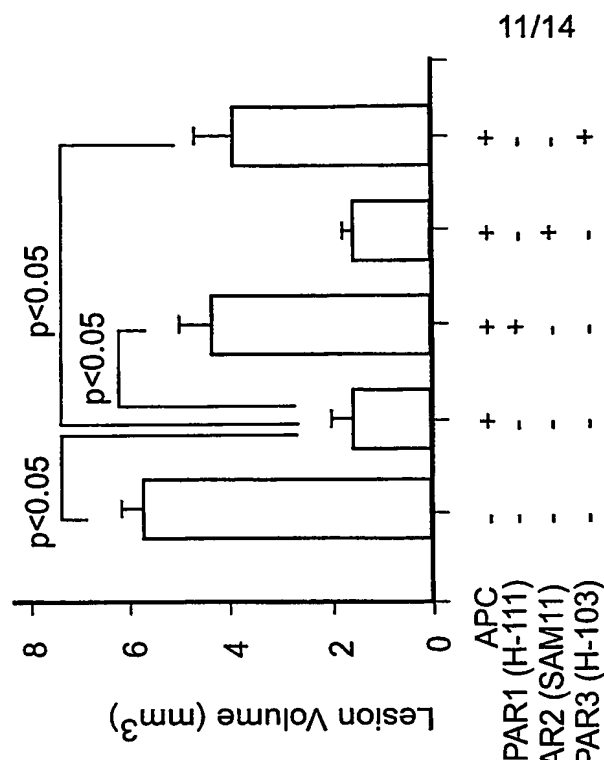


Fig. 7e

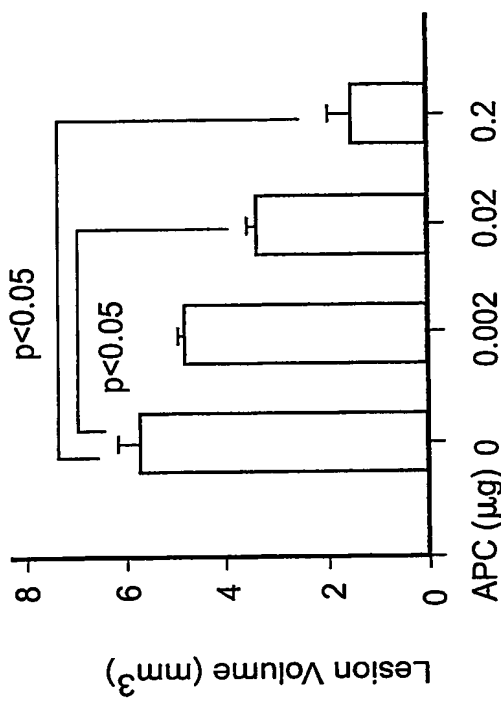


Fig. 7d

Surface loops affect APC anticoagulant activity

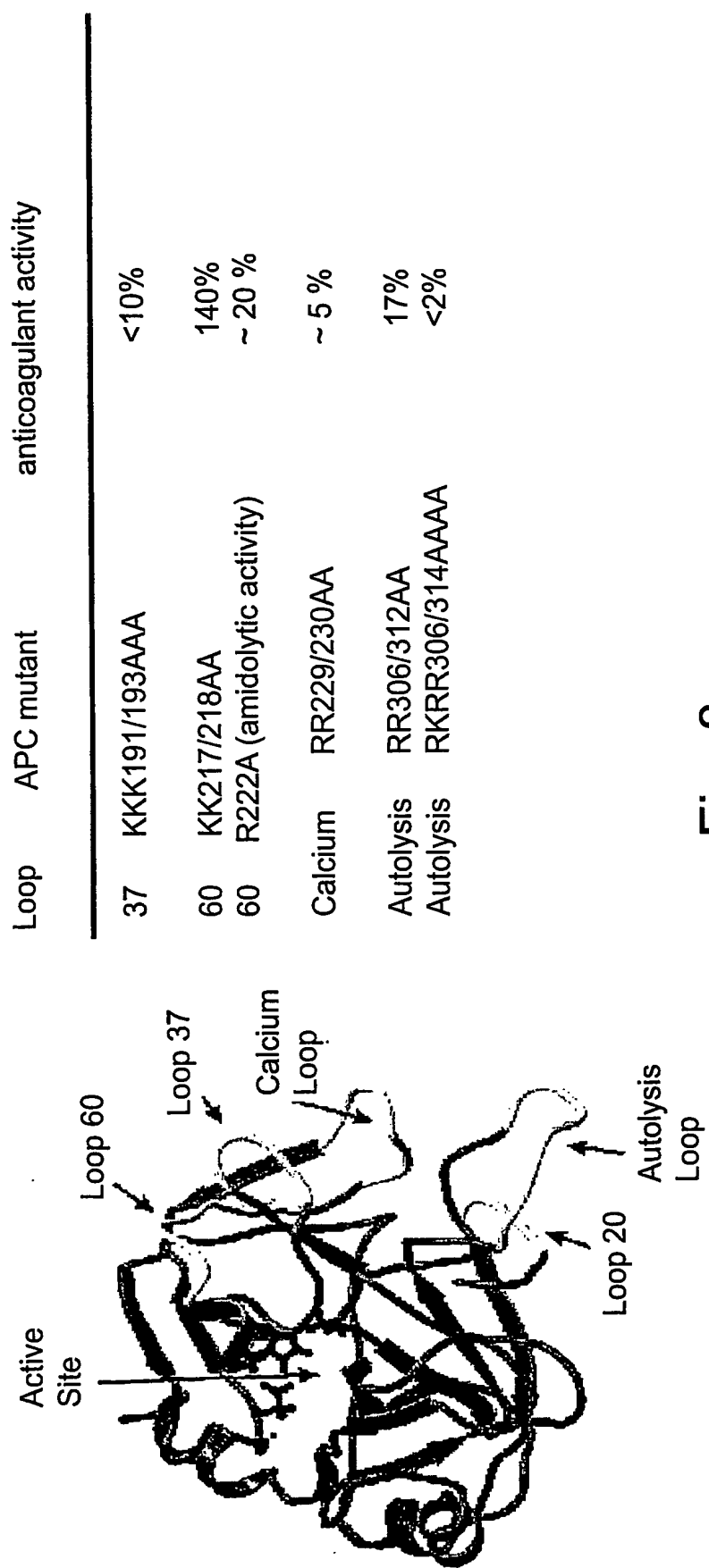


Fig. 8

13/14

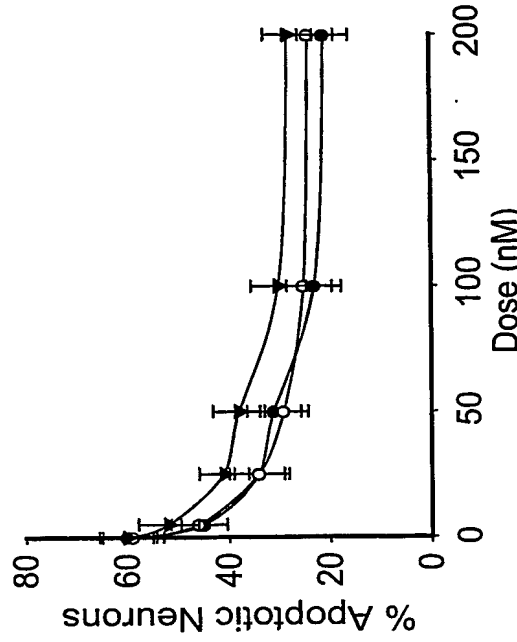


Fig. 9b

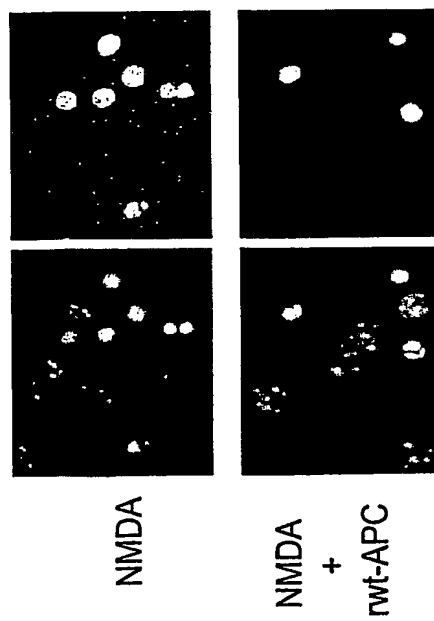


Fig. 9a

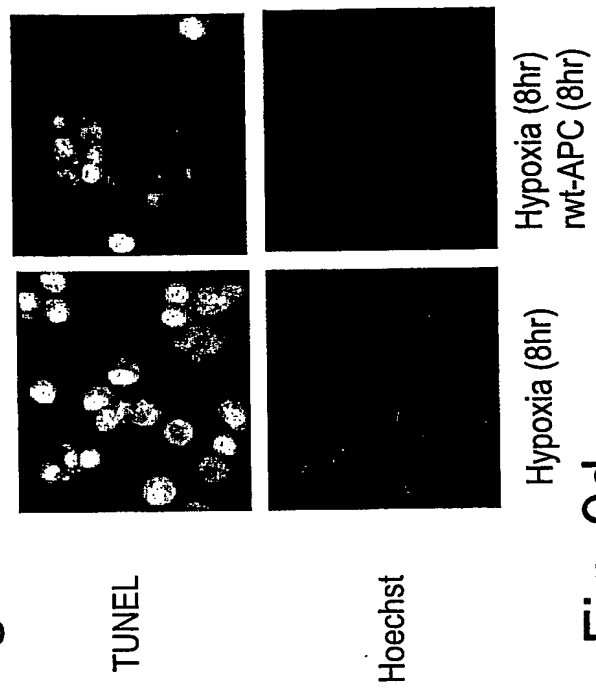


Fig. 9b

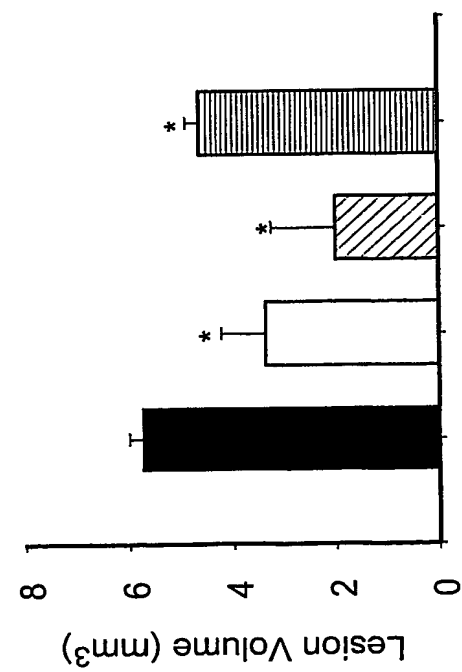


Fig. 9c

14/14

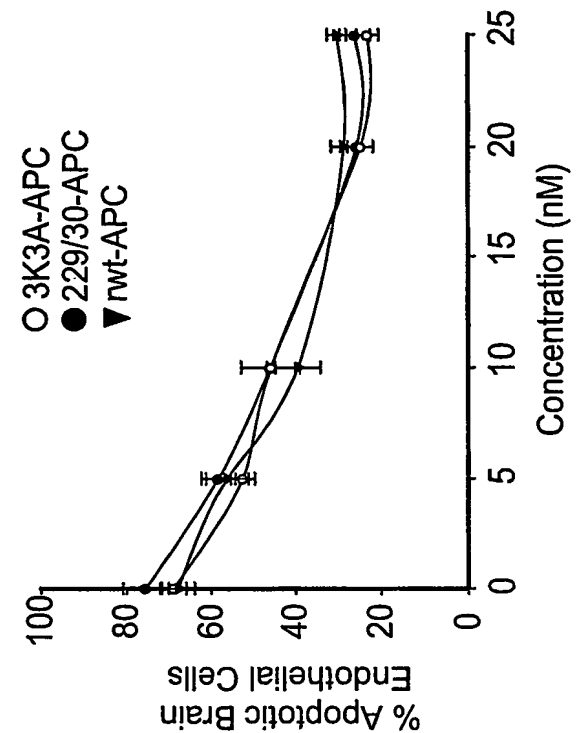


Fig. 9f

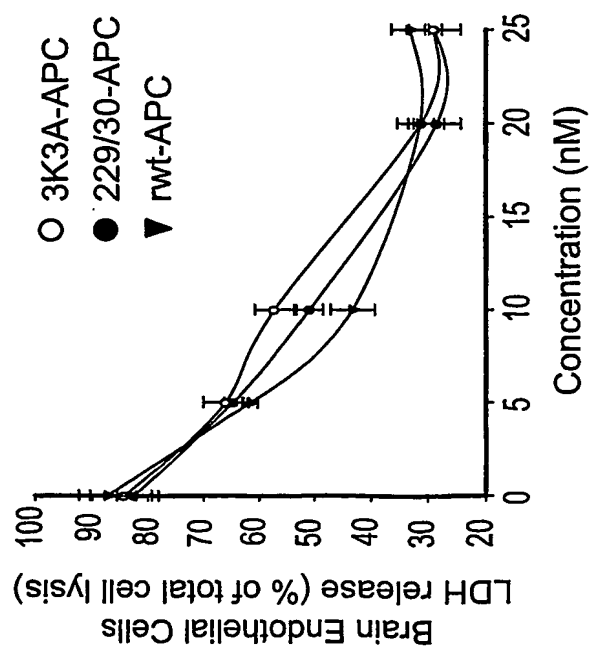


Fig. 9e